

بررسی اثر بازپخت در خلاء بر روی خواص الکتریکی، اپتیکی و ساختاری لایه‌های نازک و شفاف

Tehيه شده به روش تبخیر در خلاء با استفاده از باریکه الکترونی ITO

میرزاei، فاطمه^۱; ملکی، محمد هادی^۲; میرجلیلی، غضنفر^۳

^{۱,۳} گروه فیزیک، دانشکده علوم، دانشگاه یزد

^۲ پژوهشکده لیزر و اپتیک، سازمان انرژی اتمی، پژوهشگاه علوم و فنون هسته‌ای

چکیده

لایه‌های نازک ITO بر روی زیرلایه‌های شیشه‌ای در دمای 200°C با کمک روش تبخیر در خلاء با استفاده از باریکه الکترونی، لایه نشانی شده است. نمونه‌های لایه نشانی شده، در محیط اتمسفر و محیط خلاء، در دمای‌های مختلف تحت بازپخت قرار گرفته‌اند. مقاومت الکتریکی نمونه پس از لایه نشانی $\Omega\text{cm}^{-1} 1/84 \times 10^{-1}$ گیری شد و پس از بازپخت در اتمسفر و خلاء (به ترتیب) $\Omega\text{cm}^{-1} 1/35 \times 10^{-4}$ و 400°C ، به مقدار 500°C کاهش یافت. عبور نوری نمونه $78/66\%$ بادست آمد. با استفاده از نتایج XRD ثابت شد $A^0 10/08$ محسوبه شد. بنابراین مجموعه نوری لایه‌های نازک ITO $4/22$ بادست آمد. برای بررسی اندازه گیری خواص لایه‌های نازک ITO از سیستم چهارتیرمیالی، طیف سنج UV/VIS/IR، XRD و AFM استفاده شده است.

Effects of annealing an vacuum on Electrical, optical and structural characteristic of ITO thin films by electron beam evaporation

Mirzaei, Fatemeh¹; Maleki, Moham'mad hadi²; Mirjalili, Ghazanfar³

^{1,3}Physic Departmen, Yaz University

²Laser & Optics research School Nuclear Science & Technology Research Institute (NSTRI)

Abstract

Tin doped oxide, ITO thin films were prepared on glass substrate at 200°C by electron beam technique. Deposited films were annealed at different temperatures and different environment. The Resistance of films deposited is about $1/84 \times 10^{-1} \Omega\text{cm}$ and falls down to $1/35 \times 10^{-4} \Omega\text{cm}$ after annealing 500°C at atmosphere and 400°C . Average transmittance in visible range is about 78/66%. The lattice constant of ITO thin films were $10/08A^0$ by XRD. Optical band gap calculated 4/222. The structural, electrical and optical characteristics of ITO samples have been analyzed by XRD, AFM, Four point probe method and UV/VIS/IR spectrophotometer.

PACS No.

تصویرت گسترده در صفحه نمایشگرهای مایع (LCD)، دیودهای

مقدمه

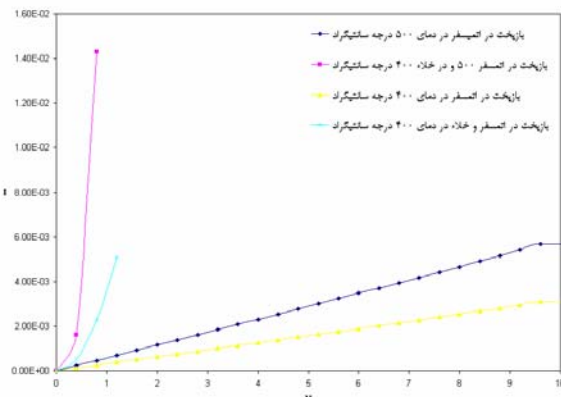
گسیل کننده نور ارگانیک (OLED)، الکترودهای رسانای شفاف برای سلول‌های خورشیدی و ابزار الکتروپاتیکی دیگر [۲۰-۲۳] استفاده می‌شود. در کاربردهای مختلف لایه‌های نازک مقاومت الکتریکی پایین و توان اپتیکی بالا در ناحیه طول موج نور مرئی نیاز است.

روش‌های متعددی برای لایه نشانی لایه‌های نازک ITO وجود دارد از قبیل کندوپاش مگترونی dc و کندوپاش RF [۴-۵]، تبخیر به کمک پالس لیزری [۶]، تبخیر حرارتی [۷]، تبخیر باریکه

اکسید ایندیم یک ماده سرامیکی شفاف است، زمانی که با قلع (معمولًا ۱۰٪) آلاییده شود، رسانای شده اما همچنان شفاف باقی می‌ماند [۱]. ایندیم تین اکساید یا اکسید ایندیم آلاییده شده با قلع، ITO نامیده می‌شود. ITO یک نیمه رسانای نوع n با شکاف انرژی پهن است. به دلیل کاربردهای فراوان ITO در صنعت، سالهای زیادی است که مورد توجه پژوهشگران قرار گرفته است. لایه‌های نازک ITO به دلیل مقاومت الکتریکی پایین ($\Omega\text{cm}^{-4} \sim 10^{-4}$) و شفافیت نوری مناسب در ناحیه نور مرئی ($> 80\%$) بطور همزمان،

سطحی پایین‌تر، نمونه‌ها در دمای 200°C و 300°C تحت بازپخت قرار گرفته‌اند. مقاومت سطحی نمونه‌ها پس از بازپخت در دمای 300°C به ترتیب به مقدار $\Omega\text{cm}^{-3} \times 10^{20}$ و $\Omega\text{cm}^{-3} \times 10^{29}$ کاهش یافت. بازپخت در این دماها، شفافیت نمونه را به اندازه مورد نیاز بهبود نمی‌بخشد. برای رسیدن به لایه‌های به اندازه کافی شفاف، نمونه‌ها در محیط اتمسفر در دماهای 400°C و 500°C به مدت ۴ ساعت تحت بازپخت قرار می‌گیرند. اکسیژن موجود در محیط، سبب بهبود شفافیت لایه‌ها می‌شوند. پس از بازپخت در اتمسفر، لایه‌ها به شفافیت مورد نیاز رسیده‌اند اما مقاومت همچنان بالاست.

مقاومت الکتریکی لایه‌های نازک وابسته به چگالی حامل‌های آزاد است. چگالی حامل‌های آزاد از طریق دو مکانیزم بدست می‌آید، جایگزینی اتم‌های قلع و تهی جاهای اکسیژن. بازپخت در کوره خلاء (محیطی که دارای کمبود اکسیژن است). رشد کریستالی لایه‌ها را بهبود می‌بخشد و همچنین غلاظت حامل‌ها را با ایجاد تهی جاهای اکسیژن افزایش می‌دهد. در حقیقت، بازپخت در کوره خلاء اکسیژن‌های اضافی را از لایه‌ها جدا کرده و با ایجاد تهی جاهای اکسیژن، مقاومت را کاهش می‌دهد. نمونه‌های که قبلاً در اتمسفر بازپخت شده‌اند، بار دیگر به مدت ۴ ساعت در دمای 400°C در کوره خلاء، بازپخت می‌شوند. پس از بازپخت مقاومت الکتریکی اندازه گیری شده است و حاصل در جدول ۱، آمده است. در شکل ۱، نمودار I-V نمونه‌ها در شرایط مختلف بازپخت با هم مقایسه شده‌اند.



شکل ۱: نمودار I-V لایه‌های ITO در شرایط مختلف بازپخت.

الکترونی [۸] و فرایند سل-ژل [۹]. در این کار به بررسی اثرات بازپخت در کوره خلاء بر روی خواص الکتریکی، اپتیکی و ساختاری لایه‌های نازک ITO تهیه شده به روش تبخیر در خلاء با استفاده از باریکه الکترونی بر روی زیرلایه‌های شیشه‌ای پرداخته می‌شود.

روش انجام آزمایش

در این کار از زیرلایه‌های شیشه‌ای جهت لایه نشانی استفاده شده است. آلدگی زیرلایه بر روی خواص لایه‌های بدست آمده بسیار تاثیرگذار است بتایران قبل از لایه نشانی، زیرلایه‌ها توسط محلول شیمیایی RCA (آب یونیزه شده، آمونیاک و پراکسید هیدروژن به نسبت ۱:۱:۵) تمیز شده‌اند. برای لایه نشانی، زیرلایه‌ها توسط ITO تبخیر در خلاء با استفاده از باریکه الکترونی و هدف ITO (۱۰ wt% SnO_2 و ۹۰ wt% In_2O_3) استفاده شده است. پس از رسیدن فشار محفظه به میزان 10^{-6} torr و دمای محیط لایه نشانی ITO با 200°C ، لایه نشانی انجام می‌گیرد. ضخامت لایه‌های ITO با استفاده از بلور نوسانگر کوارتز دستگاه لایه نشانی اندازه گیری شده و در حدود ۱۸۰ nm است. لایه‌های ITO بدست آمده پس از لایه نشانی، بسیار تیره است. مقاومت الکتریکی نمونه‌ها پس از لایه نشانی $\Omega\text{cm}^{-3} \times 10^{29}$ اندازه گیری شد. برای بهبود خواص الکتریکی و اپتیکی لایه‌های نازک ITO، نمونه‌ها پس از لایه نشانی در محیط اتمسفر و خلاء، در دماهای مختلف تحت بازپخت قرار می‌گیرند و پس از هر مرحله بازپخت خواص لایه‌ها بررسی می‌شود. به منظور بررسی خواص لایه‌های ITO، مقاومت سطحی لایه‌ها با استفاده از سیستم چهار ترمینالی اندازه گیری می‌شود. طیف عبوری لایه‌ها با استفاده از طیف سنج UV/VIS/IR و اندازه گیری شد و خواص ساختاری لایه‌ها با استفاده از XRD و AFM بررسی می‌شود.

نتایج و بحث

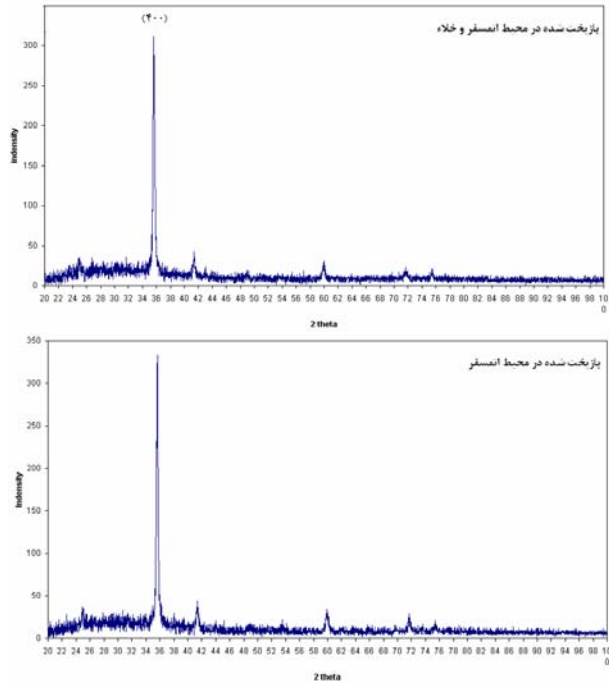
مقاومت الکتریکی لایه‌های نازک ITO از خواص بسیار مهم و کاربردی آن است. مقاومت نمونه قبل از بازپخت، $\Omega\text{cm}^{-1} \times 10^{29}$ اندازه گیری شد. برای بدست آوردن نمونه‌های با مقاومت

جدول ۱، مشخصات الکتریکی و اپتیکی لایه‌های نازک بر حسب تغییر در شرایط بازپخت (محیط و دما) را نشان می‌دهد.

جدول ۱: مشخصات الکتریکی و اپتیکی اندازه گیری شده

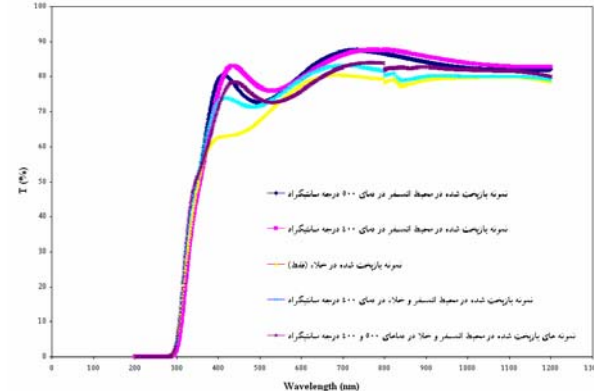
باند ممنوعه نوری	عبورنوری میانگین (T%)	مقاومت سطحی ($\times 10^{-4} \Omega\text{cm}$)	دماهای بازپخت (Ts)
۴/۰۴	۸۲/۳۱	۸/۰۷	(اتمسفر) ۴۰۰°C
۴/۱۱	۸۱/۴۱	۶/۲۳	(اتمسفر) ۵۰۰°C
۴/۲۲	۷۸/۴۰	۲/۰۸	(اتمسفر) ۴۰۰°C (خلاء) ۴۰۰°C
۴/۲۷	۷۸/۶۶	۱/۳۵	(اتمسفر) ۵۰۰°C (خلاء) ۴۰۰°C

در شکل ۴، طیف XRD مربوط به لایه‌های ITO که در محیط‌های مختلف بازپخت شده‌اند را نشان داده و با هم مقایسه کرده است. پیک ظاهر شده در شکل منطبق بر صفحه (۴۰۰) است که نشان دهنده جهت <100> است. بازپخت در محیط خلاء سبب کاهش اندازی در مقدار پیک می‌شود.



شکل ۴: نمونه‌های بازپخت شده در اتمسفر و بازپخت شده در هر دو محیط اتمسفر و خلاء.

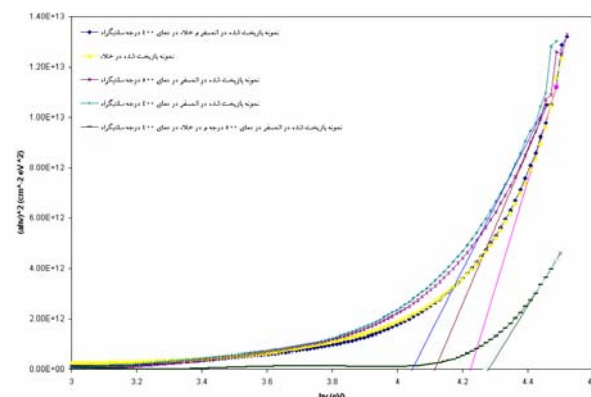
طیف عبوری لایه‌های ITO با استفاده از طیف سنج UV/VIS/IR اندازه گیری شده است. شکل ۲، طیف عبوری لایه‌های نازک ITO که در شرایط مختلف بازپخت شده‌اند را نشان می‌دهد. مشاهده می‌شود که با تغییر دماهای بازپخت و محیط بازپخت درصد عبور نوری تغییر می‌کند.



شکل ۲: طیف عبوری لایه‌های ITO تحت شرایط مختلف بازپخت. برای گذار مستقیم در لایه‌های ITO، باند ممنوعه نوری بر حسب انرژی فوتون‌ها از رابطه زیر بدست می‌آید:

$$(ahv)^2 = A(hv - E_g) \quad (1)$$

انرژی فوتون، E_g باند ممنوعه نوری و A عددی ثابت است. برای محاسبه باند ممنوعه نوری لایه‌ها باید منحنی $(ahv)^2$ را بر $h\nu$ رسم کرده و سپس قسمت خطی نمودار $(ahv)^2$ را آنقدر امتداد داد تا محور $h\nu$ را در $\alpha = 0$ قطع کند. شکل ۳، نمودار $(ahv)^2$ را بر حسب $h\nu$ ، برای لایه‌های ITO که در شرایط مختلف بازپخت شده‌اند را نشان می‌دهد.



شکل ۳: نمودار $(ahv)^2$ بر حسب $h\nu$ برای تعیین باند ممنوعه مستقیم لایه‌های نازک ITO بازپخت شده در شرایط مختلف.

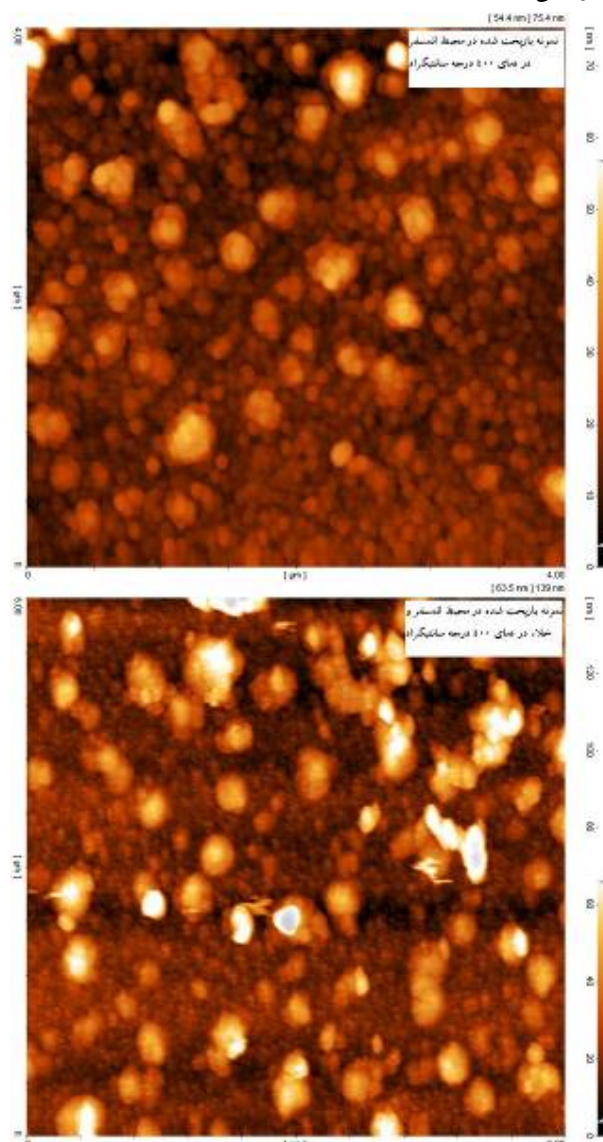
نتیجه گیری

لایه‌های نازک، شفاف و رسانای ITO به شیوه تبخیر در خلاء، با کمک باریکه الکترونی از هدف In_2O_3 (90 wt% SnO_2 , 10 wt%) بر روی زیرلایه شیشه‌ای، لایه نشانی شده است. تاثیر بازپخت در کوره خلاء بر روی خواص الکتریکی، اپتیکی، ساختار کریستالی و سطحی بوسیله آنالیزهای سیستم چهارترمیانی، طیف سنج XRD, UV/VIS/IR و AFM بررسی شده است. لایه‌های ITO که در محیط اتمسفر در دمای 500°C بازپخت شدند و مجدداً در خلاء در دمای 400°C تحت بازپخت قرار گرفته‌اند، دارای مقاومت بهینه $1.35 \times 10^{-4} \Omega\text{cm}$ است و میانگین درصد عبور نوری در ناحیه مرئی برابر 78/66٪ است.

مرجع‌ها

- [۱] J. Eite and A. G. Spencer; "Indium Tin Oxide for transparent EMC shielding and Anti-static applications"; Presented at EMCUK. (2004).
- [۲] H. Kim and A. Dique and J. S. Horwitz; Appl. Phys. Lett. **74**(23), (1999) 3444.
- [۳] H. Hiramatsu and W. S. Seo and K. Koumoto; Chem. Mater. **10**, (1998) 3033.
- [۴] A. K. Kulkarni and K. H. Schulz and T. S. Lim; Thin Solid Films **345**, (1999) 273.
- [۵] S. H. Shin and J. H. Shin and K. J. Park; Thin Solid Films **341**, (1999) 225.
- [۶] F. O. Adurodija and H. Izumi and T. Ishihara and K. Yamada and H. Matsui; Thin Solid Films **350**, (1999) 79.
- [۷] F. Zhu and C. H. A. Huan and K. Zhang and A. T. S. Wee; "Investigation of annealing effects on indium tin oxide thin films by energy loss spectroscopy"; Thin Solid Films **359**, (2000) 244-250.
- [۸] J. K. Sheu and Y. K. Su and G. C. Chi and M. J. Jou and C. C. Liu and C. M. Chang; "Indium Tin Oxide ohmic contact to highly doped n-GaN"; Solid-State Electronics **43**, (1999) 2081-2084.
- [۹] H. L. Harthagel and A. L. Dauer and A. K. Jain and G. Jagadish; Semiconducting Transparent Thin Films, IOP, Bristol, (1995).

تأثیر تغییرات محیط و دمای بازپخت بر روی ساختار سطحی لایه‌های نازک ITO توسط میکروسکوپ نیروی اتمی (AFM) بررسی شده است. با توجه با این تصاویر می‌توان دریافت که بازپخت در خلاء، موجب افزایش ناهمواریهای سطح می‌شود که نتیجه بزرگتر شدن اندازه دانه‌ها می‌باشد. بزرگ شدن سایز دانه‌ها باعث کاهش مرزدانه‌ها شده و در نتیجه تعداد الکترون‌های کمتری در مرزدانه‌ها به دام افتاده، بنابراین مقاومت لایه‌ها کمتر می‌شود و عبور نوری نیز بهبود می‌یابد.



شکل ۵: تصاویر AFM مربوط به نمونه‌های بازپخت شده در شرایط مختلف.